

# Sprawozdanie z ćwiczeń laboratoryjnych z Metod Numerycznych

---

Gabriel Naleźnik

Wydział Fizyki i Informatyki Stosowanej  
Akademia Górniczo-Hutnicza im. Stanisława Staszica w Krakowie

13.05.2020 r.

## *Laboratoria XI : Aproksymacja sygnału okresowego przy użyciu FFT*

### 1. Wstęp Teoretyczny.

**Dyskretna transformata Fouriera (DFT)** - transformata Fouriera wyznaczona dla sygnału próbkowanego, a więc dyskretnego. Dla liczb zespolonych  $x_0, \dots, x_{n-1}$  i  $k=0, 1, \dots, N-1$  określona jest wzorem:

$$X_k = \sum_{n=0}^{N-1} x_n e^{-\frac{2\pi i}{N}nk}$$

Obliczanie sum za pomocą powyższego wzoru ma złożoność obliczeniową  $O(N^2)$

**Szybka transformata Fouriera (FFT)** - algorytm wyznaczania dyskretnej transformaty Fouriera oraz transformaty do niej odwrotnej. Pozwala on zmniejszyć liczbę wykonywanych operacji do  $O(N \log_2 N)$ .

**Algorytm radix-2** - najprostsza i najbardziej powszechna forma algorytmu Cooleya-Tukeya, opracowana w latach 60 XX wieku w celu szybkiej analizy danych sejsmologicznych. Jej zadaniem jest obliczenie współczynników dyskretnej transformaty Fouriera (DFT), ale wykonując jak najmniej obliczeń. W algorytmie zakładamy że całkowita liczba węzłów jest potęgą 2 tj.:  $N = 2^k$ ,  $k \in \mathbb{N}$

Węzły definiujemy jako  $x_j = \frac{2\pi}{N}j$ ,  $j=0, 1, \dots, N-1$

Współczynniki wyznaczamy za pomocą wzoru:

$$c_k = \langle E_K, f \rangle = \sum_{j=0}^{N-1} E_k^*(x_j) f(x_j) = \sum_{j=0}^{N-1} f(x_j) \exp(-I x_j k) = \sum_{j=0}^{N-1} f_j \exp\left(-I \frac{2\pi}{N} j k\right)$$

A po grupowaniu osobno składników parzystych i nieparzystych dostajemy

**Parzyste:**  $\sum_{m=0}^{\frac{N}{2}-1} f_{2m} \exp\left(-I \frac{2\pi}{N} 2mk\right) + \sum_{m=0}^{\frac{N}{2}-1} f_{2m+1} \exp\left(-I \frac{2\pi}{N} (2m+1)k\right)$

**Nieparzyste:**  $\sum_{m=0}^{\frac{N}{2}-1} f_{2m} \exp\left(-I \frac{2\pi}{N} mk\right) + \exp\left(-I \frac{2\pi}{N} k\right) \sum_{m=0}^{\frac{N}{2}-1} f_{2m+1} \exp\left(-I \frac{2\pi}{N} mk\right)$

Przy oznaczeniach:

$$\mathbf{p}_k = \sum_{m=0}^{\frac{N}{2}-1} f_{2m} \exp\left(-I \frac{2\pi}{N} mk\right), \mathbf{q}_k = \sum_{m=0}^{\frac{N}{2}-1} f_{2m+1} \exp\left(-I \frac{2\pi}{N} mk\right) \text{ oraz } \boldsymbol{\varphi}_k = \exp\left(-I \frac{2\pi}{N} k\right)$$

Współczynniki można zapisać jako:  $\mathbf{c}_k = \mathbf{p}_k + \boldsymbol{\varphi}_k \mathbf{q}_k$

Korzystamy z okresowości wyrazów  $\mathbf{p}_k$  i  $\mathbf{q}_k$ :  $\mathbf{p}_{k+N/2} = \mathbf{p}_k$  oraz  $\mathbf{q}_{k+N/2} = \mathbf{q}_k$

Jak również z własności czynnika fazowego:  $\boldsymbol{\varphi}_{k+N/2} = -\boldsymbol{\varphi}_k$

Metoda ta pozwala nam wyliczyć współczynniki dzięki DFT nakładem  $\mathcal{O}\left(\frac{N^2}{4}\right)$  oraz dodatkowo oszczędzić czas wyznaczając tylko współczynniki dla  $k < N/2$  ponieważ:

$$\mathbf{c}_k = \begin{cases} \mathbf{p}_k + \boldsymbol{\varphi}_k \mathbf{q}_k & \text{dla } k < N/2 \\ \mathbf{p}_{k+N/2} - \boldsymbol{\varphi}_k \mathbf{q}_{k+N/2} & \text{dla } k \geq N/2 \end{cases}$$

Kolejnym krokiem FFT jest podział sum w  $\mathbf{p}_k$  oraz w  $\mathbf{q}_k$  na sumy zawierające tylko elementy parzyste i nieparzyste, a po podziale liczba elementów w każdej z dwóch powstałych sum jest dwukrotnie mniejsza niż w elemencie macierzystym.

Proces **rekurencyjnego** podziału kończymy, gdy liczba elementów jest równa 1.

## 2. Opis problemu.

Problemem w tym zadaniu z laboratoriów było zastosowanie FFT do odsumienia sygnału periodycznego. Sygnał okresowy nie zaszumiony ma postać:

$$y_0(i) = \sin(\omega * i) + \sin(2\omega * i) + \sin(3\omega * i)$$

gdzie  $i = 0, 1, \dots, N-1$   $\omega = 2 \frac{2\pi}{N}$   $N = 2^k$

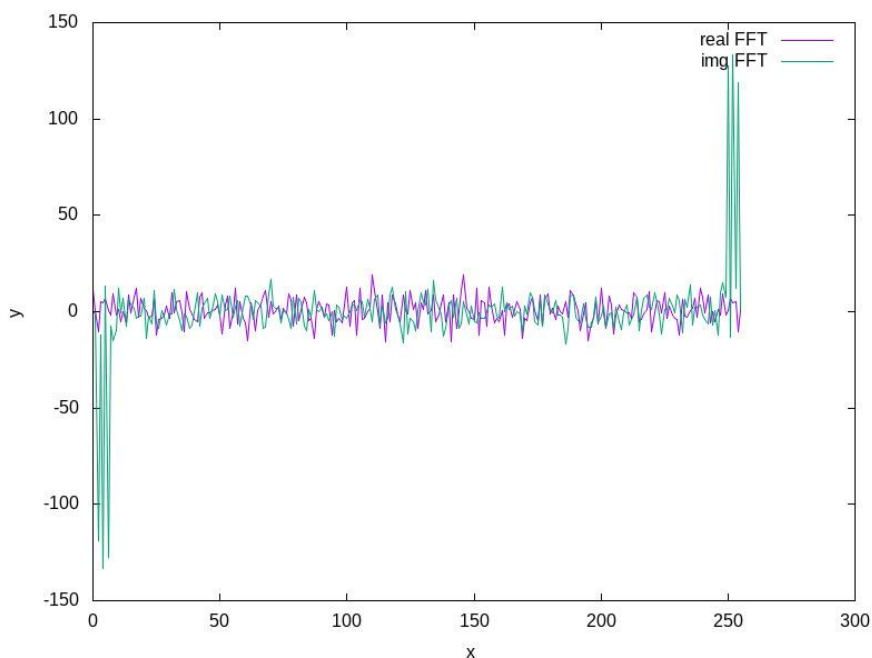
W zadaniu należało wygenerować sygnał dla  $k = 8, 10, 12$ .

Szum z przedziału  $[-1, 1]$  wygenerowany został przy pomocy wzoru:

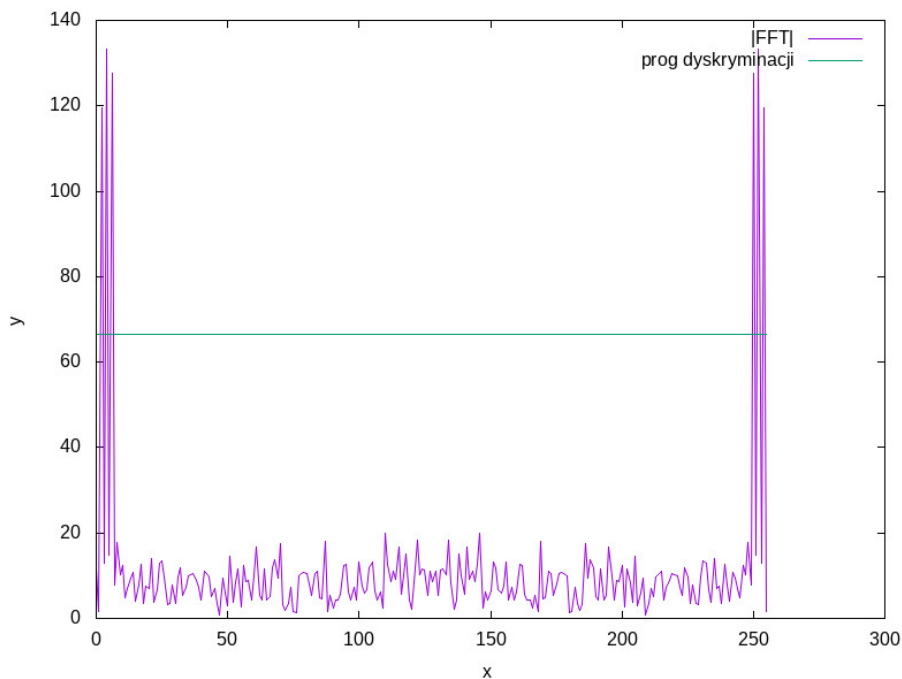
$$\Delta = 2 * \frac{\text{rand}()}{\text{RAND\_MAX} + 1} - 1$$

### 3. Wyniki

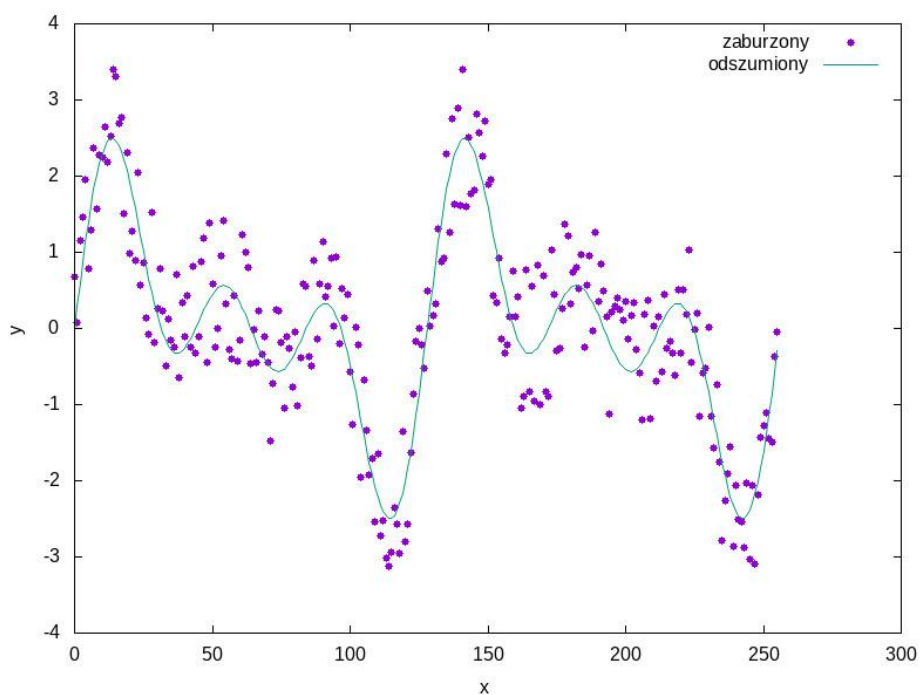
Napisałem program w języku C, w którym zaimplementowałem metodę do odsumowania sygnału periodycznego za pomocą FFT. Poniżej zamieszczam uzyskane wyniki:



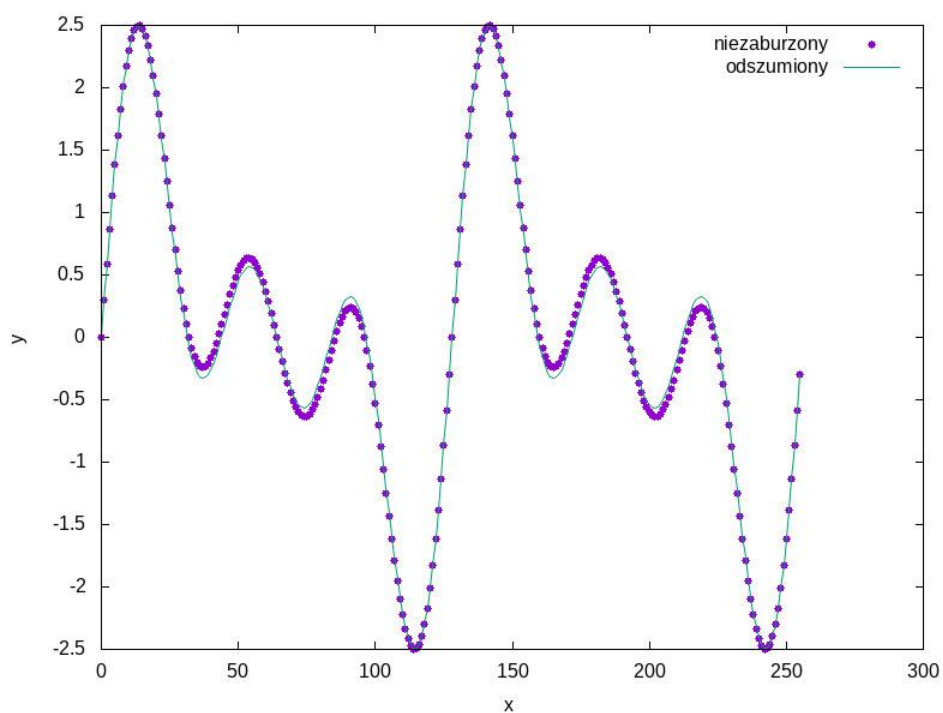
Rys. 3.1 Wykres pokazujący część rzeczywistą i urojoną transformaty dla  $k=8$



Rys. 3.2 Wykres pokazujący wartości modułów współczynników transformaty i próg dyskryminacji sygnału na poziomie  $\max|c_k|/2$  dla  $k=8$

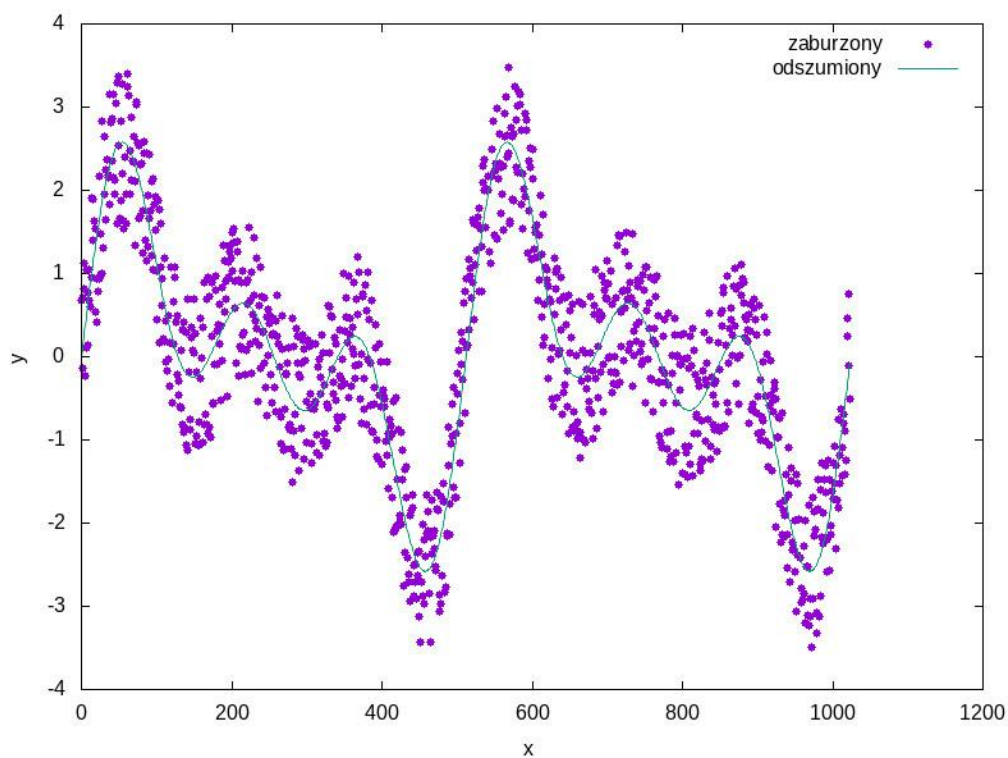


Rys. 3.3 Rysunek sygnału zaburzonego i odszumionego dla  $k=8$

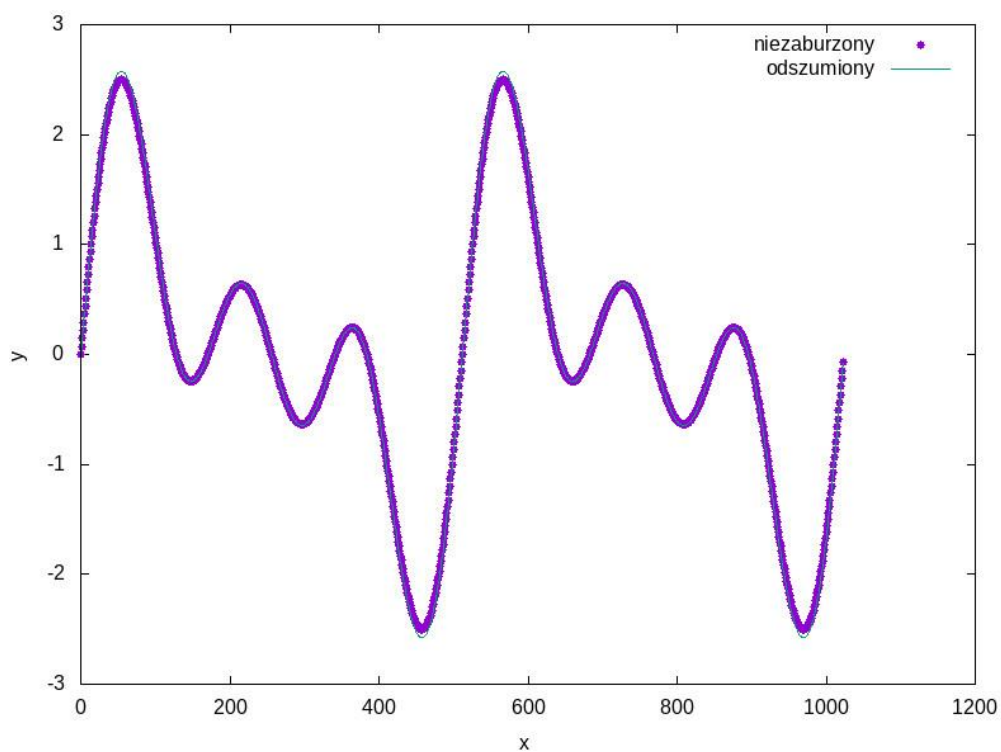


Rys. 3.4 Rysunek sygnału niezaburzonego i odszumionego dla  $k=8$

Jak można zauważyć metoda bardzo dobrze odszumiała zaburzony zbiór danych z rysunku 3.3 dla liczby próbek:  $2^8$ , jednak na rysunku 3.4 w miejscu kilku ekstremów lokalnych można dopatrzyć się niedopasowań wykresu do danych. Sama funkcja w miejscach ekstremów zdaje się nie być gładka.

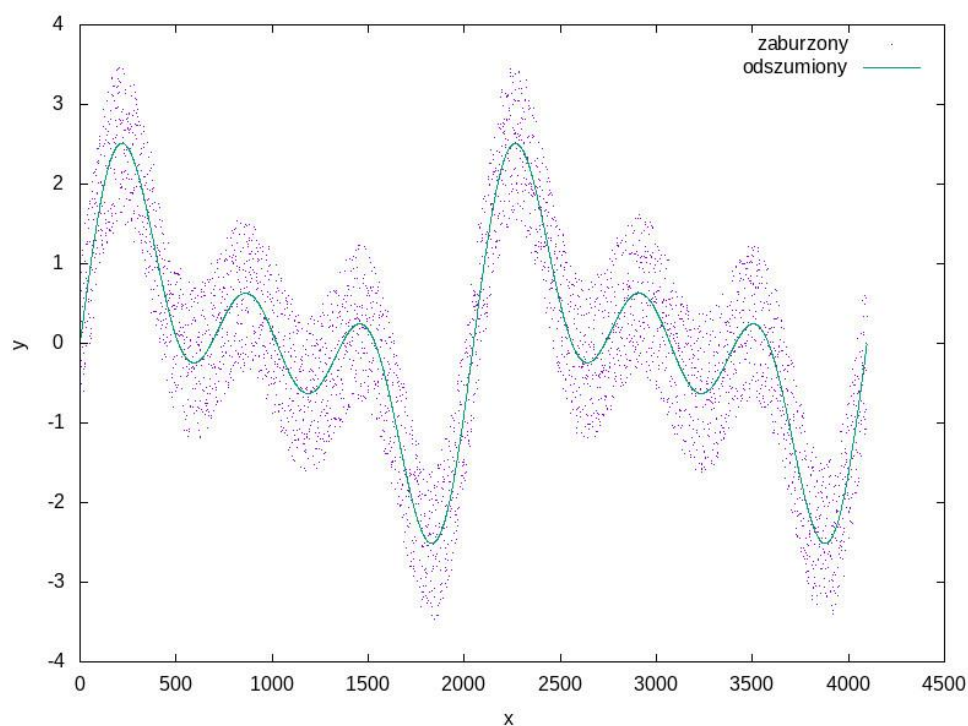


Rys. 3.5 Rysunek sygnału zaburzonego i odszumionego dla  $k=10$

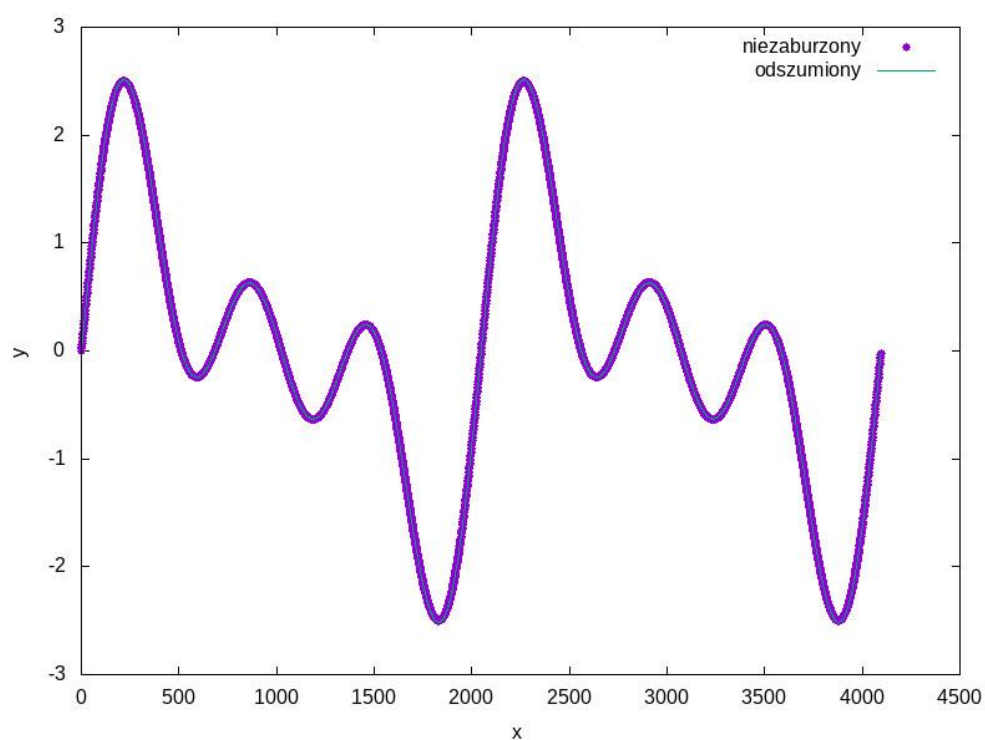


Rys. 3.6 Rysunek sygnału niezaburzonego i odszumionego dla  $k=10$

W przypadku  $k=10$ , gdy liczba próbek została zwiększona do  $2^{10}$ , wykres funkcji odszumionej pokrywa więcej ekstremów i jest gładzszy niż w poprzednim przypadku. Dalej w niektórych punktach występują pewne odstępstwa.



Rys. 3.7 Rysunek sygnału zaburzonego i odszumionego dla  $k=12$



Rys. 3.8 Rysunek sygnału niezaburzonego i odszumionego dla  $k=12$

Dla liczby prób:  $2^{12}$  uzyskane zostało najlepsze odszumienie sygnału. Uzyskana funkcja niemal całkiem pokrywa wygenerowane, niezaburzone punkty oraz jest bardzo gładka w całej rozpatrywanej dziedzinie.

## 4. Wnioski

Zwiększenie ilości próbek dało lepszą jakość przybliżenia i szybka transformacja Fouriera pozwoliła na dokładne przybliżenie początkowej funkcji dopiero przy liczbie prób wynoszącej  $N=2^{12}$ . Dla mniejszych liczb prób kształt funkcji również był zachowany, jednak w punktach ekstremów lokalnych występowały niedopasowania, a odszumiony wykres nie był wystarczająco gładki.

Podsumowując, wykorzystana metoda okazała się być skuteczna w celu odszumienia sygnału periodycznego. Jej wydajność również potwierdza szybkie wykonanie programu.